

Modeling and Evaluation of Reliability in Rocket Engine by Fault Tree Analysis

M. Karbasian^{1*} and A. Bagheri^{2*}

1, 2. Industrial Engineering Department, Malek-e- Ashtar University

*No. 117, Ave. Motahar, Tehran- Iran

Mkarbasian@yahoo.com

Recognition of any type of failures in systems and prediction of its reliability have important role in improvement of design of systems. Fault Tree Analysis (FTA) is one of the best techniques in analysis and improvement of complex systems. In this paper first, we show reliability block diagram (RBD) of Rocket Engine and then its fault tree is analyzed. Finally based on FTA, reliability of combustion of rocket engine is calculated.

Key Words: reliability, fault tree analysis, reliability block diagram, rocket engine

مدل سازی و ارزیابی قابلیت اطمینان موتور راکت به روش تحلیل درخت خطا

مهندی کرباسیان^۱ و احمد باقری^{۲*}

۱. دانشگاه صنعتی مالک اشتر، دانشکده مهندسی صنایع

۲. مهندسان مشاور بهبود سیستم

*تهران، خیابان مطهری، پلاک ۱۱۷

mkarbasian@yahoo.com

شناسایی انواع خرابی سیستم‌ها بهخصوص در مورد محصولات حیاتی و حساس و محاسبه قابلیت اطمینان آنها قبل از به کارگیری، نقش مؤثری در بهبود طراحی این سیستم‌ها ایفا می‌کند. روش تحلیل درخت خطا (FTA) ^۳ یک ابزار تشخیصی بسیار قوی برای تحلیل سیستم‌های پیچیده است که به عنوان یک روش کمک‌کننده در اصلاح طراحی به کار می‌رود [۱]. بر همین اساس، در این مقاله ابتدا بلوک دیاگرام یک موتور راکت رسم گردیده و بر پایه آن درخت خطا احتراف نابهنجام موتور به دست آمده است و در نهایت قابلیت اطمینان کارکرد درست موتور راکت حین به کارگیری محاسبه گردیده است.

واژه‌های کلیدی: قابلیت اطمینان، تحلیل درخت خطا، بلوک دیاگرام، موتور راکت

دیاگرامی است که از موتور راکت به دست آمده است. روش تحلیل درخت خطا یک نمودار منطقی و گرافیکی از بالا به پایین است که خرابی و علل آن را توصیف می‌کند [۴]. نمودار تحلیل درخت خطا از نظر گرافیکی، نمایانگر تمامی خرابی‌های سامانه، زیرسامانه و مجموعه است که برای نمایش روابط بین خرابی‌ها و علل آن مجموعه‌ای از علائم و نمادها را به کار می‌گیرد [۵]. از جمله مزایای این روش این است که ضمن شناسایی تمامی پیشامدهای میانی و نهایی، امکان محاسبه احتمال وقوع آنها نیز وجود دارد؛ دیگر اینکه برآورد احتمالات خرابی‌های مرکب را درون یک سیستم پیچیده امکان پذیر می‌سازد و حساسیت سیستم و اقدامات متقابل با بازده پایین را شناسایی می‌کند و به وسیله آن آماده‌سازی منابع را به سمت کنترل بیشتر خطر سوق می‌دهد؛ همچنین، این ابزار می‌تواند برای پیکربندی مجدد یک سیستم به کار گرفته شود تا از حساسیت و آسیب‌پذیری آن بکاهد [۶].

مقدمه

محصولات مهندسی مدرن از تک تک قطعات تا سامانه‌های بزرگ باید به گونه‌ای طراحی و تولید شوند که در طول زمان مأموریت از قابلیت اطمینان لازم برخوردار باشند. در هر صنعتی و بهخصوص در صنایع هوافضا هنگامی که سیستمی از کار می‌افتد یا دچار اختلال می‌شود، هم از جنبه اقتصادی و هم از جنبه انسانی خطرناک و زیان‌آور است [۲].

از جمله تجهیزات حساس در صنایع نظامی می‌توان به راکت اشاره کرد که قسمت اعظمی از تولیدات صنایع موشکی کشور را به خود اختصاص داده است. موتور راکت می‌تواند به علت عیوب‌های الکترونیکی، اختلال الکترومغناطیسی در کار رادارها یا عوامل خارجی از قبیل ضربه، درجه حرارت بالا و ... با احتراف نابهنجام آتش بگیرد [۳].

در این مقاله ارزیابی قابلیت اطمینان موتور راکت با استفاده از روش تحلیل درخت خطا انجام گرفته است. این تحلیل بر پایه بلوک

چگونگی عملکرد سیستم احتراف موتور راکت

به منظور درنظر گرفتن کلیه حالت‌های سطح بالای خرابی در موتور

ترسیم درخت خطای و محاسبه قابلیت اطمینان

درخت خطای با توجه به تمام حالات خرابی‌های ممکن برای موتور راکت ترسیم می‌شود. در ترسیم درخت خطای اینکه هر کدام از خرابی‌های سطح بالایی ممکن است با وجود چه رخدادهایی ایجاد شوند مد نظر قرار می‌گیرد چراکه این عوامل شاخه‌های درخت خطای را تشکیل می‌دهند. پس از رسم درخت خطای، احتمال وقوع هر کدام از عوامل ارزیابی شده و با روابط محاسبه قابلیت اطمینان، قابلیت اطمینان سیستم در مواجهه با این پیشامد نهایی به دست خواهد آمد. برای نمایش درخت خطای از پیشامدها و نمادهای منطق دریچه‌ای متفاوتی استفاده می‌شود که در (جدول ۱) تعریف شده‌اند. اگرچه پیشامدها و نمادهای دریچه‌ای بسیاری وجود دارند، اما اغلب درختهای خطای می‌توانند به واسطه چهار نماد: (۱) پیشامد های میانی یا تاپ، (۲) دریچه AND، (۳) دریچه OR و (۴) پیشامد ورودی ساخته شوند.

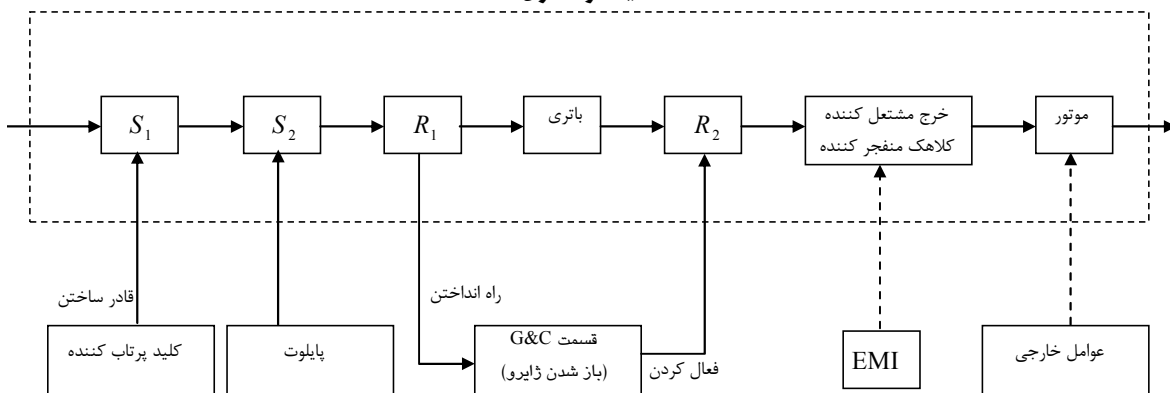
و در نتیجه رسم دقیق درخت خطای، باید از نحوه عملکرد موتور راکت اطلاع حاصل شود. البته باید توجه داشت که برای نمایش عملکرد سیستم از بلوک دیاگرام عملیاتی (FBD) ایده گرفته شده است. این نحوه عملکرد یا بلوک دیاگرام موتور راکت در شکل (۱) مشاهده می‌شود.

با برقراری اتصال، سوئیچ S_1 باز شده و پرتاپ‌کننده قادر به آزادسازی و احتراق می‌شود.

با احتراق، سوئیچ S_2 توسط پایلوت بسته می‌شود تا قادر به رله R_1 برسد.

رله R_1 بخش هدایت و کنترل (G&C) را فعال می‌کند. رله R_2 با سیگنالی که از بخش G&C دریافت می‌کند فعال شده و مدار احتراق را که موتور راکت را راهاندازی می‌کند می‌بندد.

هدایت و کنترل



شکل ۱- بلوک دیاگرام قابلیت اطمینان احتراق موتور راکت

جدول ۱- دریچه‌های منطقی درخت تحلیل خطای

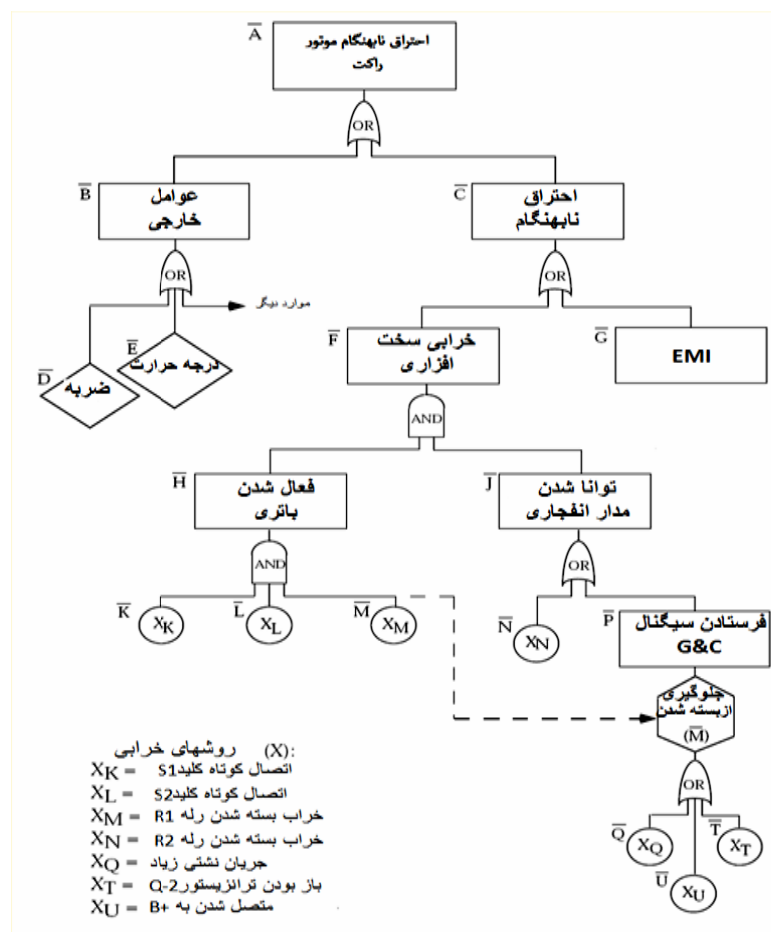
| توضیح | نام | نماد |
|--|----------------------------------|------|
| <p>پیشامد تاپ: این پیشامد نامطلوب قابل تصور است و به سمت مسیرهای خطایی در پیشامد های سطح پایین تر پیش می‌رود.</p> <p>پیشامد میانی: این پیشامد وضعیت سیستمی را که توسط پیشامد های قبلی به وجود آمده است توضیح می‌دهد.</p> | پیشامد تاپ یا میانی ^۱ | |
| <p>یک خروجی به وجود می‌آید اگر یک ورودی یا بیشتر از یک ورودی وجود داشته باشد. وجود هر ورودی مجزا برای به وجود آمدن پیشامد خروجی در هریک از رخدادهای خاص لازم و کافی است.</p> | دریچه OR ^۲ | |

| توضیح | نام | نماد |
|--|----------------------------------|------|
| یک خروجی به وجود می‌آید اگر تمامی ورودی‌ها وجود داشته باشند. تمامی ورودی‌ها برای به وجود آمدن پیشامد خروجی ضروری و کافی هستند. | دریچه AND ^۳ | |
| یک خطا یا خرابی راهانداز که زیاد پیش نرفته است؛ این پیشامدها مرز دقیق تحلیل را مشخص می‌کنند. قابل بسط نبوده و در پایین ترین سطح تفکیک قرار دارند. با علامت X و زیرنویس عددی ارائه می‌گردد. | پیشامد ورودی ^۴ | |
| پیشامدی که به علت کمبود اطلاعات یا ناکافی بودن نتایج پیش از این توسعه نیافته است (یا یک خرابی که تیم قادر به اصلاح آن نباشد). با علامت W و زیرنویس عددی ارائه می‌گردد. | پیشامد توسعه نیافته ^۵ | |
| در شرح ارتباط بین دو خرابی با یکدیگر استفاده می‌شود. اگر به حالت منقاد کننده اشاره کند خرابی ورودی به طور مستقیم خرابی خروجی را تولید می‌کند. | دریچه بازدارنده ^۶ | |

1. Event (TOP or intermediate) 2. OR gate 3. AND gate 4. basic event 5. undeveloped event 6. INHIBIT gate

نایهنجام آتش بگیرد. عیب الکترونیکی سخت‌افزاری با توانا شدن مدار انفجاری و فعال شدن با تری به وجود می‌آید که علت بروز هریک نیز در درخت خطا مشخص است.

همان‌طور که پیش از این اشاره شد موتور راکت می‌تواند به علت عیوب الکترونیکی، اختلال الکترومغناطیسی در کار رادارها یا عوامل خارجی از قبیل ضربه، درجه حرارت بالا و ... با احتراق



شکل ۲ - درخت عیب‌یابی مدار انفجاری موتور راکت ارتباط میان بلوك

محاسبه قابلیت اطمینان

اگر درخت خطایی به عنوان یک ابزار کمی مورد استفاده قرار گیرد، احتمال خرابی باید برای هریک از پیشامدها یا راهاندازهای ورودی تعیین گردد. منابع این احتمالات خرابی از داده‌های کارخانه سازنده، استانداردهای صاحب‌نظران صنعت، استانداردهای MIL، شواهد تاریخی (برای سیستم‌های مشابه)، شبیه‌سازی یا آزمون‌سازی، برآوردهای لفی، و روش واقعه‌نگاری میانی دریافت می‌شوند. تکنیک لفی، از برآوردهای کارشناسان اهل نظر به دست آمده است. روش ثبت عملیات میانی نیز زمانی مفید است که احتمال خرابی تواند برآورده شود اما مرزهای قابل قبول بالاترین و پایین‌ترین را می‌توان تخمین زد [۱]. در اینجا احتمالات از استاندارد B MIL-338 به دست آمده است. به عبارت دقیق‌تر، برای احتمالات K، L، M و G از استاندارد Mil-217 براساس شرایط محیطی، درجه حرارت، مشخصات الکتریکی و کیفیت قطعات استفاده شده است و برای دیگر بخش‌ها از تجربه قبلی و نظرات خبرگان استفاده شده است.

جدول ۲- احتمال خرابی هریک از قطعات موتور

| | |
|---------------------------------------|--|
| $\bar{K} = S_1 = 50 \times 10^{-3}$ | = احتمال اتصال کوتاه شدن کلید |
| $\bar{L} = S_2 = 100 \times 10^{-3}$ | = احتمال اتصال کوتاه شدن کلید |
| $\bar{M} = R_1 = 40 \times 10^{-3}$ | = احتمال خراب بسته شدن رله |
| $\bar{N} = R_2 = 5 \times 10^{-3}$ | = احتمال خراب بسته شدن رله |
| $\bar{Q} = 1 \times 10^{-3}$ | = احتمال جریان نشتی زیاد |
| $\bar{T} = Q^{-2} = 2 \times 10^{-3}$ | = احتمال باز بودن ترانزیستور |
| $\bar{U} = 2 \times 10^{-3}$ | = احتمال متصل شدن به سر باتری |
| $\bar{G} = 5 \times 10^{-6}$ | = احتمال اختلال در کار رادار |
| $\bar{D} = 2.5 \times 10^{-6}$ | = احتمال ضربه تحت شرایط آزمون |
| $\bar{E} = 12.5 \times 10^{-6}$ | = احتمال احتراق نابهنجام به علت درجه حرارت شرایط آزمون |
| | آزمون |

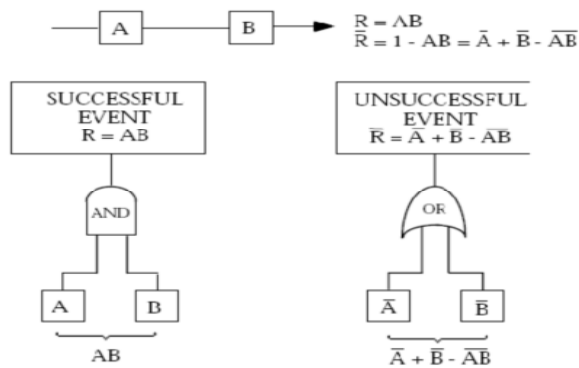
همان‌طور که در شکل (۲) نشان داده شد، C احتمال آتش گرفتن تصادفی موتور را کت به علت احتراق نابهنجام به وسیله مدار انفجار بر اثر خرابی سخت‌افزاری (F) یا مداخله الکترومغناطیسی در کار رادارها (G) است؛ یعنی:

با توجه به خرابی سخت‌افزاری، احتمال احتراق نابهنجام به علت خرابی سخت‌افزاری براساس رابطه زیر بیان می‌شود:

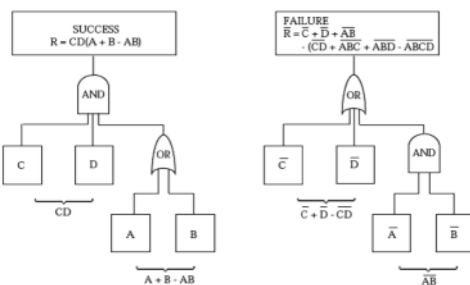
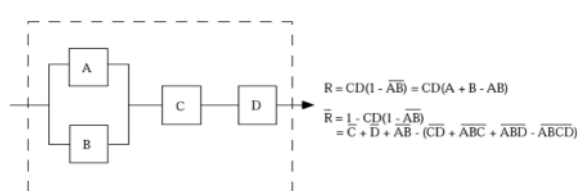
در حالی که

$$\begin{aligned}\bar{H} &= \bar{KLM} \\ \bar{J} &= \bar{N} + \bar{P} - \bar{NP} \\ \bar{P} &= \bar{Q} + \bar{T} + \bar{U} = (\bar{QT} + \bar{QU} + \bar{TU} - \bar{Q TU})\end{aligned}$$

ارتباط عملکردی میان بلوک دیاگرام قابلیت اطمینان (موققت) و هم‌ارز درخت خطای آن در شکل‌های ۳ و ۴ نشان داده شده است. همان‌طور که در شکل (۳) دیده می‌شود، موققت سیستم سری که از دو جزء A و B تشکیل شده است، از رابطه $R = AB$ و احتمال خرابی سیستم (یعنی شکست) یا عملکرد غیرقابل اطمینان (R̄) از رابطه $R̄ = (1 - R) = 1 - AB = \bar{A} + \bar{B} - \bar{AB}$ به دست می‌آید. به عبارت دیگر، $\bar{R} = 1 - AB = 1 - (1 - \bar{A})(1 - \bar{B}) = \bar{A} + \bar{B} - \bar{AB}$ در شکل (۴) دو جزء A و B به صورت موازی با یکدیگر D هستند که این دو جزء به صورت سری با دو جزء دیگر C و D مرتبط شده‌اند. شایان ذکر است که در چیزی "AND" در ترکیب موققت (R_S)، در چیزی "OR" برای ترکیب خرابی (R_F) می‌شود و بالعکس.



شکل ۳- تبدیل بلوک دیاگرام قابلیت اطمینان دو المان سری به دیاگرام منطقی درخت خطای



شکل ۴- تبدیل بلوک دیاگرام سری - موازی به همان‌دیاگرام منطقی درخت خطای

$$\bar{A} \approx 21.7 * 10^{-6}$$

بنابراین، در هر ۱ میلیون پرتاب یا بارگیری موشک ۲۲ احتراق ناپهنجام موتور صورت می‌گیرد. شایان ذکر است براساس این تخمین می‌توان بررسی کرد که سیستم طراحی شده با این قابلیت اطمینان، مورد قبول کارفرما هست یا خیر تا در صورت پذیرفته نشدن، نسبت به تغییر طراحی یا تغییر سطح کیفیت مواد اقدام کرد.

نتیجه‌گیری

پس از محاسبه قابلیت اطمینان سیستم و با توجه به درخت خطا می‌توان مؤثرترین عوامل بر روی قابلیت اطمینان را شناسایی کرده و ضمن بهبود طراحی سیستم به کمک راهکارهای مناسب، طراحی‌های مختلف را با یکدیگر مقایسه کرده و مناسب‌ترین گزینه را انتخاب کرد. همچنین، درخت خطا می‌تواند در شناسایی مسیرهای خرابی بحرانی و اصلاح ضعف‌های طراحی ایفا نماید. یکی دیگر از نتایج تحلیل درخت خطا تخصیص احتمالات خرابی بحرانی در میان سطوح پایینی خرابی سیستم است.

مراجع

- [1] Goldberg B. E., et al, *System Engineering Toolbox for Design – Oriented Engineers*, National Aeronautics and Space Administration, Marshall Space Flight Center, 1994.
- [۲] لوین م.ا. و ت.ت. کالال، بهبودسازی در قابلیت اطمینان مخصوص استراتژی‌ها و پایده‌سازی، ترجمه معاونت تضمین مرغوبیت سازمان صنایع هوافضا، ویراسته احمد مهدی‌زاده، تهران، انتشارات صنایع هوافضا، ۱۳۸۶.
- [3] MIL – HDBK - 338 B: Electronic Reliability Design Handbook, 1998.
- [4] Vesely W., B. Goldberg, *Fault Tree Handbook*, United States Nuclear Regulatory Commission, Washington D.C., 1981.
- [۵] کرباسیان مهدی و طباطبایی، لیلا، آشنایی با قابلیت اطمینان، اصفهان، انتشارات ارکان دانش، ۱۳۸۸.

با استفاده از رویکرد از بالا به پایین، ترکیب این اطلاعات در مدل احتمالی خرابی، و تخمین میزان احتمال سیستم به صورت معادلات بعدی آمده است:

$$\begin{aligned}\bar{P} &= \bar{Q} + \bar{T} + \bar{U} - (\bar{QT} + \bar{QU} + \bar{TU} - \bar{Q TU}) \\ (2+1+0.5)10^{-3}[(2+1+0.5)10^{-6} - (1)10^{-9}] &\approx 3.5 * 10^{-3} \\ \bar{J} &= \bar{N} + \bar{P} + \bar{NP} \\ &= 5 * 10^{-3} + 3.5 * 10^{-3} - 17.5 * 10^{-6} \\ &\approx 8.5 * 10^{-3}\end{aligned}$$

این احتمال تصادفی مدار انفجاری به شرطی که رله R_1 در حالت اتصال خراب بسته شده باشد (یعنی M) در شاخه درخت خطای باتری کاربردی است. در شاخه باتری، تنها زمانی باتری می‌تواند به طور اتفاقی فعال شود که سوئیچ‌های S_1 و S_2 در حالت اتصال خراب باشند، و اگر رله R_1 در حالت اتصال خراب باشد:

$$\begin{aligned}&= (50 * 10^{-3})(100 * 10^{-3})(40 * 10^{-3}) \\ &= 200 * 10^{-6}\end{aligned}$$

احتمال احتراق ناپهنجام به علت خرابی سخت‌افزاری براساس تخمین به صورت زیر است:

$$\begin{aligned}\bar{F} &= \bar{HJ} = (200 * 10^{-6})(8.5 * 10^{-3}) \\ &= (1.70 * 10^{-6})\end{aligned}$$

احتمال احتراق ناپهنجام به علت خرابی سخت‌افزاری یا اختلال الکترومغناطیسی از رابطه زیر به دست می‌آید:

$$\begin{aligned}\bar{C} &= \bar{F} + \bar{G} - \bar{FG} \\ &= (1.70 * 10^{-6}) + (5 * 10^{-6}) - \\ &\quad (1.70 * 10^{-6})(5 * 10^{-6}) \\ &\approx 6.70 * 10^{-6}\end{aligned}$$

احتمال احتراق ناپهنجام موتور راکت به علت عوامل خارجی از رابطه زیر به دست می‌آید:

$$\begin{aligned}\bar{B} &= \bar{D} + \bar{E} - \bar{DE} \\ &= (2.5 * 10^{-6}) + (12.5 * 10^{-6}) - \\ &\quad (2.5 * 10^{-6})(12.5 * 10^{-6}) \\ &\approx 15 * 10^{-6}\end{aligned}$$

بنابراین، احتمال تصادفی احتراق ناپهنجام موتور راکت هنگام مراحل جابه‌جایی و بارگیری سلاح عبارت است از:

$$\begin{aligned}\bar{A} &= \bar{B} + \bar{C} - \bar{BC} \\ &= (15 * 10^{-6}) + (6.70 * 10^{-6}) - \\ &\quad (15 * 10^{-6})(6.70 * 10^{-6})\end{aligned}$$